谢少林,王 超,吕子君,等.基于线粒体控制区 Dloop 序列的长臀躺种群遗传结构分析[J]. 华南农业大学学报,2016,37(1):8-13.

## 基于线粒体控制区 Dloop 序列的 长臀**鮠**种群遗传结构分析

谢少林<sup>1</sup>,王 超<sup>1,2</sup>,吕子君<sup>1</sup>,李正光<sup>1</sup>,石忍耐<sup>2</sup>,邹记兴<sup>1</sup> (1华南农业大学 动物科学学院,广东广州 510642; 2清远市兴渔水产科技有限公司,广东清远 511510)

摘要:【目的】了解长臀鮠 Cranoglanis 3 个种群的野生资源状况,并对 3 个种群的物种有效性进行分析。【方法】采用线粒体控制区 Dloop 基因序列测定技术,分析了珠江水系、海南水系和越南红河水系长臀鮠种群的群体遗传结构及其变异。【结果】在检测的 84 个个体中共得到 43 个单倍型,呈现出较高的单倍型多样性与较为贫乏的核苷酸多样性,其中海南长臀鮠 C. multiradiatus 群体的单倍型多样性(Hd = 0.871)和核苷酸多样性(Pi = 0.0064)最低;Tajima's D 中性检验以及核苷酸不配对分析均表明,3 个长臀鮠群体趋于稳定,未经历过大规模的种群扩张。Fst分析发现,海南长臀鮠同珠江长臀鮠 C. bouderius、红河长臀鮠 C. henrici 产生了一定的遗传分化,而珠江和红河群体未发现明显遗传分化,从遗传距离来看,珠江和红河长臀鮠净遗传距离为 0.000。【结论】长臀鮠野生资源较为贫乏,且海南群体最为严重;认为应将珠江长臀鮠和红河长臀鮠归为同一亚种长臀鮠 C. bouderius,而海南长臀鮠作为长臀鮠的另一个亚种。

关键词:长臀鮠; 线粒体控制区; Dloop 基因序列; 物种有效性; 遗传结构; 资源状况 中图分类号:Q953 文献标志码:A 文章编号:1001-411X(2016)01-0008-06

# Analysis of population genetic structure of *Cranoglanis* based on mitochondrial Dloop sequences

XIE Shaolin<sup>1</sup>, WANG Chao<sup>1,2</sup>, LÜ Zijun<sup>1</sup>, LI Zhengguang<sup>1</sup>, SHI Rennai<sup>2</sup>, ZOU Jixing<sup>1</sup> (1 College of Animal Science, South China Agricultural University, Guangzhou 510642, China; 2 Qingyuan Xingyu Fishery Science Co., Ltd., Qingyuan 511510, China)

Abstract: [Objective] In order to understand the current situation of wild resources for three Cranoglanis populations and to evaluate the species validities of three species. [Method] The genetic structure and genetic variation of three Cranoglanis populations (C. multiradiatus, C. bouderius and C. henrici) were investigated by sequencing the Dloop genes in the mitochondrial control region. [Result] Among 84 individuals from the three populations, fourty-three hapotypes were detected, indicating a relatively high haplotype diversity and low nucleotide diversity. The lowest hapotype diversity (Hd) and nucleotide diversity (Pi) were both found in C. multiradiatus group (Hd = 0.871, Pi = 0.006 4). Tajima's D neutral test and nucleotide mismatch distribution analysis showed that the three populations were getting stable without experincing any large-scale expansion. Fst analysis suggested that C. multiradiatus had certain genetic differentiation compared to C. bouderius and C. henrici, while the latter two did not have any obvious differentiation from each other. The genetic distance between C. bouderius and C. henrici was 0.000. [Conclusion] The wild resources for Cranoglanis are relatively poor and the case in C. multiradiatus is the most serious. C. bouderius and C. henrici are considered to be one subspecies, as well as C. multi-

收稿日期:2015-01-28 优先出版时间:2015-12-07

优先出版网址:http://www.cnki.net/kcms/detail/44.1110.s.20151207.1115.004.html

作者简介:谢少林(1988—),男,博士研究生,E-mail:xieshaolinscau@163.com;通信作者:邹记兴(1966—),男,教授,博士, E-mail:zoujixing@scau.edu.cn

基金项目:广东省海洋渔业科技推广专项科技攻关与研发项目(A201301F03);广东省海洋渔业科技与产业发展专项(A201501A02);科技型中小企业技术创新基金(14C26214402655)

radiatus being another subspecies of Cranoglanis.

**Key words**: Cranoglanis bouderius; mitochondrial control region; Dloop gene sequence; species validity; genetic structure; resource status

鱼类线粒体基因是遗传信息重要的载体,具有母系遗传、进化速度快等特点,是研究种群遗传结构的理想材料<sup>[12]</sup>;线粒体控制区又称 D-环区(Dloop),其进化速度最快,是 mtDNA 其他区段的 5~10 倍<sup>[3]</sup>,遗传变异大,是种群遗传多样性研究的常用标记之一,很适合做种内、种群或个体间的遗传分化研究<sup>[4]</sup>。

长臀鮠属 Cranoglanis 是东亚和南亚特有属,原 在中国的珠江水系和海南水系以及越南的红河水系 很常见,由于其人工繁殖技术还不成熟[5-6],尚不能 为水产市场提供稳定的苗种,因此一直以来其苗种 主要通过野外捕捞获得,以致长臀鮠野生资源枯竭, 已被列入《中国濒危动物红皮书》[7],面对长臀鮠如 此严峻的野生资源状况,通过分析其种群结构和遗 传多样性,进而对其野生资源状况进行客观的评价 显得尤为重要,纵观国内外研究现状,仅有少数学者 对长臀鮠分布区的部分群体进行了研究,乐小亮 等[8]通过 cytb 基因以及高志远等[9] 通过线粒体控制 区仅对海南群体遗传变异进行了研究,程飞等[10]通 过 AFLP 和微卫星也只研究了海南和珠江 2 个群体, 本研究采集珠江、海南和越南红河3个群体,通过线 粒体控制区对3个区域的长臀鮠遗传结构和遗传多 样性进行分析,并对长臀鮠3个群体的野生资源现 状进行客观评价。

自 1927 年 Koller<sup>[11]</sup>在海南发现一新种 Pseudeutropichthys multiradiatus Koller 以来,长臀鮠的归属问 题一直饱含争议; Myers<sup>[12]</sup>认为 Pseudeutropichthy 和 Cranoglanls 为同物异名,故将 Koller 发现的新种改名 为 Cranoglanis multiradiatus, 但认为 C. sinensis 和 C. multiradiatus 为不同的 2 个种,并建立了长臀鮠科 Cranoglanididae; Jayaram<sup>[13]</sup>认为两者是同物异名,均 属于长臀鮠 C. bouderius;褚新洛等[14]则认为二者应 作为1个种的2个地理亚种更为合理;Ng 等[15] 却认 为除上述2个种外,还包括越南红水河水系的红河 长臀鮠 C. henrici;刘彩霞[16]采用传统形态度量学方 法,认为长臀鮠属只有1个有效种,即 C. bouderius; 程飞等[10] 通过 AFLP 和微卫星标记仅对海南和珠江 2个群体进行了分析,认为二者为同一种。本研究通 过线粒体控制区,对长臀鮠3个种群遗传分化和遗 传距离进行分析,旨在为长期存在争议的长臀鲍物 种有效性提供可靠的分子生物学依据。

## 1 材料与方法

#### 1.1 材料

珠江长臀鮠 C. bouderius 鳍条样品于 2013 年

3—9 月分别采自广东省清远市清新县源潭镇境内北江流域(9条)、佛山九江流域(8条)和广西西江上游红水河流域(7条),共采集样本24条;红河长臀鮠C. henrici 鳍条样于2014年6月20日采自与云南河口交界的越南红河流域,共采集样本30条;海南长臀鮠C. multiradiatus 鳍条样于2014年7月20日采自海南省儋州市南丰镇松涛水库番加乡、南丰镇和白沙3个区域,共采集样本30条,样本采集是随当地渔民出船捕捞购得,体长介于15~25 cm,新鲜采集的鳍条样品储存于体积分数为95%乙醇溶液中,带回实验室放置于-20℃冰箱中保存。

组织样品 DNA 提取试剂盒为 TIANGEN 生化科技有限公司产品、Tap DNA 聚合酶为 TaKaRa 有限公司产品,其他试剂均为分析纯。引物由上海捷瑞生物公司合成,测序由上海英骏公司完成。引物根据 NCBI 上已有长臀鮠线粒体全长序列(GenBank 序列号:NC\_008280.1)设计 Dloop 引物序列;Dloop F:5′-CTAAATCTTAATGTCTTCGACATGC-3′, Dloop R:5′-GGTTTGACAGGATAAATTAGGACTC-3′。

#### 1.2 方法

1.2.1 长臀鳍络条样 DNA 的提取 取 30 mg 左右鳍条样品,于蒸馏水中漂洗数次,用滤纸吸干表面水分,放入 1.5 mL 离心管中,用剪刀剪碎,加裂解液,在 55  $^{\circ}$ C 水域中直至裂解完全,按 TIANGEN 组织 DNA 提取试剂盒说明书进行操作,然后琼脂糖凝胶电泳检验提取效果,于 -20  $^{\circ}$ C条件保存供后续试验。1.2.2 长臀鮠 Dloop PCR 扩增 PCR 反应体系总体积为 50  $^{\circ}$ L,其中包括  $10 \times B$ uffer 5  $^{\circ}$ L,dNTPs (2.5 mmol·L<sup>-1</sup>) 4  $^{\circ}$ LL,上、下游引物各 1  $^{\circ}$ LL,Ex Taq 酶 (1  $^{\circ}$ U· $^{\circ}$ LC) 2  $^{\circ}$ LL,模板 1  $^{\circ}$ LL,用双蒸水补足 50  $^{\circ}$ LL。 Dloop PCR 反应条件: 94  $^{\circ}$ T预变性 5 min; 94  $^{\circ}$ C变性 30 s,54  $^{\circ}$ C退火 30 s,72  $^{\circ}$ C延伸 1 min,35 个循环; 72  $^{\circ}$ C延伸 10 min。反应结束后,取 2  $^{\circ}$ LL PCR 产物做琼脂糖凝胶电泳,检验目的基因质量,然后送上海英骏生物公司测序鉴定。

1.2.3 序列分析 测序结果同 NCBI 上序列比对分析后,用 Clustal X 软件进行排序,并进行手工校正<sup>[17]</sup>。MEGA 5.0 软件统计序列的碱基组成、变异位点数、简约信息位点以及群体间的遗传距离<sup>[18]</sup>;用 DnaSP 5.0 计算单倍型多态性和核苷酸多样性等遗传多样性指数<sup>[19]</sup>。利用 Arlequin3.5 中性检验和核苷酸不配对分布2 种方法来检测长臀鮠的群体历史动态<sup>[20]</sup>。

http://xuebao.scau.edu.cn

### 2 结果与分析

#### 2.1 长臀鮠 DLoop 基因序列的组成及变异

采用 Clustal X 软件分别对长臀鮠 3 个群体进行序列比对,去除两端冗余序列,珠江长臀鮠、海南长臀鮠和红河长臀鮠得到可分析序列长度分别为 742、734 和 734 bp,3 个群体序列组成和变异结果见表 1;

长臀鮠 Dloop 序列多态性两端较高,中间 256~531 bp 相对保守,其中多态性最高的区域为 532~633 bp;共发现 3 个保守区域 AAAATCGCATAATTCCCT-TAACATTCATG(177~206 bp)、GGGTCACACTCCT-CACACTATTCTGGCATCTGGTTCCTATTTCA(329~373 bp)和 ACCTCGTTCTAGCAAAAACCCCCCATGC-CAAGGCATTCTTTAACAG(434~479 bp)。

表 1 长臀鮠 3 个种群 Dloop 序列特征

Tab. 1 Characteristics of Dloop sequences of three Cranoglanis species

5h #¥	样品数/条	多态性	简约信息	碱基组成/%					
种群	件吅奴/宋	位点	位点	T	С	A	G	A + T	C + G
珠江长臀鲂	色 24	56	36	31.7	22.6	33.6	12.1	65.3	34.7
海南长臀鲂	色 30	20	13	31.6	22.5	33.6	12.3	65.2	34.8
红河长臀鲫	色 30	18	13	31.5	22.6	33.8	12.0	65.4	34.6
合计	84	70	52	31.5	22.6	33.7	12.1	65.3	34.7

#### 2.2 长臀鮠种群的遗传结构分析

采用 DNAsp5.0 和 Arlequin3.5 软件对 3 个长臀 鲍种群 84 个个体的 Dloop 序列进行分析,共检测出 43 个单倍型,其中珠江种群 20 个,海南种群 11 个,红河种群 18 个;3 个群体间无共享单倍型,红河和珠江种群有 6 个共享单倍型,海南种群 11 个单倍型均为特有单倍型(表 2);对各群体的遗传变异参数进行统计,结果如表 3 所示,对比各群体单倍型多样性指数、核苷酸多样性指数以及平均核苷酸差异数发现,海南长臀鮠 3 个指标值均最低,说明海南群体遗传多样性水平较低。对长臀鮠 3 个种群进行中性假说检验结果表明,除珠江长臀鮠 Fu'Fst 检验达到显著外(P < 0.05),其他种群均不显著(P > 0.05)(表 3)。结合核酸不配对曲线可以发现,3 个群体均呈多峰曲线分布,与其 Tajima's D 检验不显著结果相符,表明 3 个群体大小稳定,无明显的群体扩张(图 1)。

#### 2.3 长臀鮠种群遗传距离估算和聚类分析

采用 Mega5.0 对长臀鮠3 个种群间的净遗传距 离进行估算,结果如表4所示,珠江与海南的净遗传 距离为 0.001,海南与红河的净遗传距离大于珠江与 海南为 0.003;长臀鮠 3 个群体的平均遗传距离为 0.014,海南种群间的遗传距离最小为0.006,显著小 于珠江种群间的遗传距离(0.015)及红河种群间的 遗传距离(0.018);对3个群体间的遗传分化指数进 行计算也发现,海南与珠江以及红河与海南的遗传 分化指数达到显著(P < 0.05),而红河与珠江之间的 遗传分化指数不显著,说明海南长臀鮠群体同珠江、 红河群体间产生了一定的遗传分化。采用 Mega5.0 软件对84个个体进行NJ聚类分析,并采用Bootstrap(重复次数 1000)检验聚类树各分支置信度,结 果如图 2 所示,3 个种群 84 个个体间未形成明显的 谱系结构,各地理种群散乱无序的分布于各分枝,无 明显的地理聚群,未发现明显的地理结构。

表 2 43 个单倍型在长臀鮠群体中的分布

Tab. 2 The distribution of 43 haplotypes in *Cranoglanis* populations ↑

popu	lations		个
单倍型	珠江长臀鮠	海南长臀鮠	红河长臀鮠
	3		1
2	3 3 1		3
1 2 3	1		
4		1	
5 6		8	
6		1	
7		1 2 3	
8		3	
9	1		
10	1		3
11	1		
12	1		
13	1 1		
14	1		
15			3
16		3	
17			1
18		1	
19	1		
20	1		
21	1		
22	1		
23			1
24			1
25			1
26			2
27			1
28			1
29	1		1
30	1 1		
31 32	1		1
33	1		1
33 34	1	8	
35		1	
36		1	
37		1	
38	1	1	2
39	1		2 2
40			1
41	1		1 2
42	1		2
43	1		3
总计	20	11	18
167 Y J	20		10

#### 表 3 长臀鮠种群的遗传变异参数统计1)

	Tab. 3	Parametric statistics	of genetic	variation in	Cranoglanis	populations
--	--------	-----------------------	------------	--------------	-------------	-------------

种群	个体数	单倍型数	单倍型多样性指数(Hd)	核苷酸多样性指数(Pi)	平均核苷酸差异数(K)	Tajima' s $D$	Fu'Fst
珠江长臀鮠	24	20	0.978	0.0147	10.703	-1.073 6	-5.339 8 *
海南长臀鮠	30	12	0.871	0.0064	4.660	-0.5942	0.900 6
红河长臀鮠	30	18	0.963	0.018 6	13.561	0.1801	-0.128 8

1)\*表示达统计显著水平 (P<0.05)。

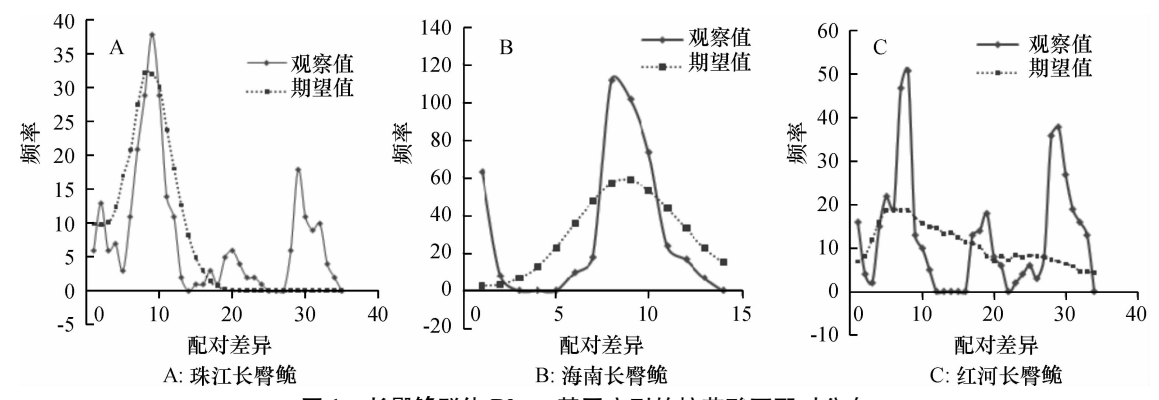


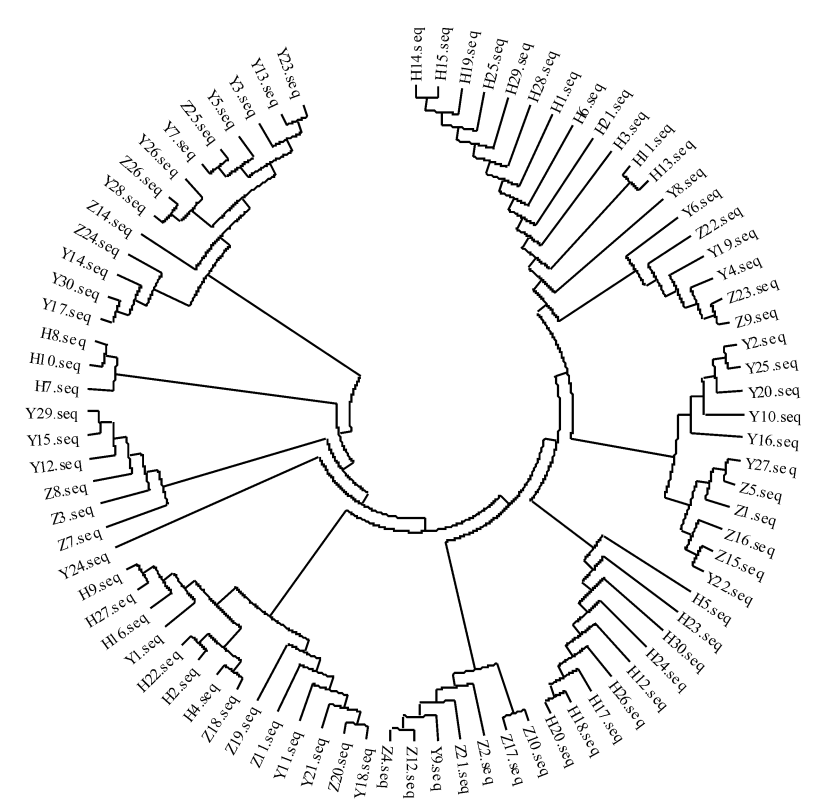
图 1 长臀鮠群体 Dloop 基因序列的核苷酸不配对分布

Fig. 1 Mismatch distribution of Dloop gene for the Cranoglanis population

表 4 长臀鮠种群内遗传距离(对角线)及两两种群间净遗传距离(对角线上)和遗传分化系数(Fst)(对角线下)<sup>1)</sup>
Tab. 4 Pairwise genetic distances within population (diagonal), net genetic distance (above diagonal) and fixation index (Fst) (below diagonal) between *Cranoglanis* population

( , ( ) )	0 11		
种群	珠江长臀鮠	海南长臀鮠	红河长臀鮠
珠江长臀鮠	0.015	0.001	0.000
海南长臀鮠	0.114*	0.006	0.003
红河长臀鮠	0.015	0. 170 *	0.018

1) \* 表示达统计显著水平 (P < 0.05)。



Z:珠江长臀鮠 C. bouderius; H:海南长臀鮠 C. multiradiatus; Y:红河长臀鮠 C. henrici。

图 2 基于 Dloop 基因序列构建的长臀鮠邻接系统树

Fig. 2 The NJ phylogenetic tree based on Dloop gene sequences of Cranoglanis

## 3 讨论

#### 3.1 长臀鮠种群的遗传多样性

遗传多样性是物种不断进化适应环境的基础, 是评价生物资源状况的重要依据,遗传多样性的降 低或丧失,会对野生群体的资源状况造成极大威胁。 采用 Dloop 基因序列对长臀鮠珠江水系、海南水系和 越南红河水系3个种群遗传结构分析发现,3个种群 均表现出单倍型多样性高、核苷酸多样性低的现象 (珠江 Hd = 0.978, Pi = 0.0147; 海南 Hd = 0.871, Pi = 0.006 4;红河 Hd = 0.963, Pi = 0.018 6),其中海 南群体 Hd 和 Pi 都小于其他 2 个群体,3 个种群遗传 多样性与中国香鱼[4]、青海湖裸鲤[21]、圆口铜鱼[22]、 刀鲚[23]、铜鱼[24]水平相当;通过考察群体的核苷酸 不配对曲线是否单峰型或多峰型、是否偏离中性检 验,可以推测过去群体是否发生过扩张[25],长臀鮠3 个群体 Tajima's D 检验不显著(P>0.10) 和核酸不 配对曲线呈多峰曲线分布,表明长臀鮠3个群体保 持稳定,未出现大规模扩张;由上述结果可见,长臀 **鲍群体的遗传多样性总体上比较贫乏。珠江水系和** 越南红河水系的长臀鮠较海南长臀鮠有更多基因交 流的机会,海南长臀鮠处于海南岛,四面环海很难与 外界产生基因交流;长臀鮠尚未实现大规模的人工 繁殖,其种苗大部分靠野生苗种捕捞,长臀鮠野生资 源的匮乏,也是造成长臀鮠野生资源遗传多样性贫 乏的原因。海南长臀鮠遗传多样性贫乏程度较其他 2个群体更胜,应加强海南岛野生长臀鮠资源的保 护,建立长臀鮠保护区刻不容缓[9]。

#### 3.2 长臀鮠种群的分化和地理格局

长臀鮠3个种群84个个体共检测到43个单倍型,珠江种群和红河种群有6个共享单倍型,海南11个单倍型均为特有单倍型;3个群体平均遗传距离0.014,珠江和红河的净遗传距离为0.000,海南和红河的净遗传距离(0.003)大于海南和珠江(0.001),西江上游红水河与南盘江相连,而南盘江又与云南元江相接,元江的下游流进越南境内称红河,故珠江长臀鮠所在的水系和红河长臀鮠所在水系相连,基因交流较四面环海相对封闭的海南岛频繁,另外广西、云南与越南相邻,据调查,当地很多野生长臀鮠苗种购自越南,加速了2个群体的基因交流,3个群体遗传距离的差异与地理分布相符。3个群体遗传分化指数也显示,海南长臀鮠同珠江、红河2个群体有显著的遗传分化,而珠江和红河没有,说明海南长臀鮠

http://xuebao.scau.edu.cn

由于和珠江、红河地理上的隔离,在漫长的进化过程中已经慢慢产生了遗传分化。基于 Dloop 基因构建长臀鮠 NJ 进化树发现,3 个群体散乱分布于各枝,未出现明显的地理聚群,但从进化树上可见珠江和红河2 个群体有更多的交集。综上所述,海南长臀鮠同珠江长臀鮠和红河长臀鮠产生了一定的遗传分化,但很缓慢。

#### 3.3 长臀鮠属鱼类物种有效性分析

长臀鮠3个种群的物种有效性一直存在争议, 褚新洛等[14]在中国动物志硬骨鱼纲鲇形目中认为不 同地理种群的形态差异与其分布地区有一定的联 系,故将采自云南元江(红河)和海南的C. multiradiatus 和珠江长臀鮠 C. bouderius 作为 1 个种的 2 个亚 种;Ng 等[15]在整理采自越南北部红河水系的长臀鮠 属鱼类时,与我国长臀鮠属鱼类进行了比较,则认为 长臀鮠属有3个有效种:珠江长臀鮠 C. bouderius、海 南长臀鮠 C. multiradiatus 和红河长臀鮠 C. henrici。 刘彩霞[16]采用形态度量学方法对分布于我国珠江水 系、元江水系及海南岛诸水系的长臀鮠属3种鱼类, 共66 尾个体的43个测量性状进行了主成分分析, 其研究结果认为虽然3个种群长臀鮠可数性状存在 少许差异,但并不能从形态上进行区别,认为长臀鮠 属只存在1个有效种。另外,程飞等[11]采用 AFLP 分子标记技术对珠江长臀鮠和海南长臀鮠共60个个 体进行了遗传多样性研究,认为两者遗传差异属于 种内差异,认为两者同属1个有效种。线粒体控制 区其进化速度最快,是 mtDNA 其他区段的5~10倍, 本研究从线粒体控制区 Dloop 基因对长臀鮠 3 个种 群物种有效性进行分析,红河和珠江长臀鮠的净遗 传距离为0.000,海南和珠江、红河的净遗传距离也 较小(0.001、0.003);从遗传分化系数结果来看,珠 江种群和红河种群无显著的遗传分化,海南长臀鮠 虽然与其他2个群体产生了一定的遗传分化,但远 没达到一个新种的遗传距离。本研究结果认为,应 将珠江长臀鮠和红河长臀鮠归为同一个亚种长臀鮠 Cranoglanis bouderius,海南长臀鮠 Cranoglanis multiradiatus 归为长臀鮠的另一个亚种。

#### 参考文献:

- [1] 唐文乔,胡雪莲,杨金权. 从线粒体控制区全序列变异 看短颌鲚和湖鲚的物种有效性[J]. 生物多样性,2007, 15(3): 224-231.
- [2] 牛素芳,苏永全,钟声平,等.福建近海2个鲐鱼群体遗传结构与遗传多样性分析[J].台湾海峡,2012,31(4):

509-515.

- [3] ROSEL P E, DIZON A E, HAYGOOD M G. Variability of the mitoehondrial control region in populations of the harbour porpoise, *Phoeoena*, on interoeeanic and regional scales [J]. Can J Fish Aquat Sci, 1995, 52 (6): 1421-1429.
- [4] 乐小亮. 中国野生香鱼(*Plecogzossus altivelis*) 遗传多样性分析[D]. 广州: 暨南大学, 2010.
- [5] 周立斌,叶卫. 长臀鮠人工繁殖技术探讨[J]. 水利渔业, 2005,25(2):22-23.
- [6] 杨家坚. 海南长臀蛫人工繁殖与胚胎发育的研究[J]. 上海海洋大学学报,2008,17(6):684-688.
- [7] 乐佩琦,陈宜瑜.中国濒危动物红皮书:鱼类[M].北京:科学出版社,1998:240-243.
- [8] 乐小亮, 赵爽, 刘海林, 等. 基于线粒体 *Cytb* 基因对南渡江海南长臀鮠遗传多样性分析[J]. 生态科学,2010,29(5):247-250.
- [9] 高志远,章群,夏月恒,等. 松涛水库长臀鮠遗传多样性研究[J]. 广东农业科学, 2013,40(3):98-100.
- [10] 程飞,谢松光,叶卫,等,长臀鮠的 AFLP 分析[J]. 水生生物学报,2009,33(3):539-545.
- [11] KOLLER O. Fishe von der Insel Hainan [J]. Anna des Naturh Mus Wien, 1927,41;25-49.
- [12] MYERS G S. On the fishes described by Koller from Hainan in 1926 and 1927 [J]. Lingnan Sci J, 1931, 10:255-262.
- [13] JAYARAM K C. Taxonomic status of the Chinese catfish family Cranoglanideae Myers[J]. Proc Natn Inst Sci India, 1995, 15;85-87.
- [14] 褚新洛. 郑葆珊,成定远,等. 中国动物志:硬骨鱼纲· 鲇形目[M]. 北京:科学出版社,1999:74-77.
- [15] NG H H, KOTTELAT M. Cranoglanis henrici (Vaillant, 1893), a valid species of cranoglanidid catfish from Indochina (Teleostei, Cranglanididae) [J]. Zoosystema,

2000,22(4):847-852.

- [16] 刘彩霞. 长臀鲍属与鲚属的物种有效性分析及系统学研究[D]. 武汉:中科院水生生物研究所, 2007.
- [17] THOMPSON J D, GIBSON T J, PLEWNIAK F, et al. The CLUSTAL\_X window s interface: Flexible strategies for multiple sequence alignment aided by quality analysis tools [J]. Nucleic Acids Res, 1997,25 (24):876-4882.
- [18] TAMURA K, PETERSON D, PETERSON N, et al. MEGA5: Molecular evolutionary genetics analysis using maximum likelihood, evolutionary distance, and maximum parsimony methods [J]. Mol Biol Evol, 2011, 28 (10): 2731-2739.
- [ 19 ] LIBRADO P, ROZAS J. DnaSPv5: A software for comprehensive analysis of DNA polymorphism data [ J ]. Bioinformatics, 2009,25(11): 1451-1452.
- [20] EXCOFFIER L, LISCHER H E L. Arlequin suite ver 3.5:
  A new series of programs to perform population genetics analyses under Linux and Windows[J]. Mol Ecol Resour, 2010,10(3):564-567.
- [21] 陈大庆,张春霖,鲁成,等.青海湖裸鲤繁殖群体线粒体 基因组 Dloop 区序列多态性[J].中国水产科学,2006, 13(5):800-806.
- [22] 袁希平,严莉,徐树英,等. 长江流域铜鱼和圆口铜鱼的 遗传多样性[J]. 中国水产科学, 2008, 15(3):380-383.
- [23] 杨金权,胡雪莲,唐文乔,等.长江口邻近水域刀鲚的线 粒体控制区序列变异与遗传多样性[J].动物学杂志, 2008,43(1):8-15.
- [24] 袁娟,张其中,李飞,等. 铜鱼线粒体控制区的序列变异和遗传多样性[J]. 水生生物学报,2010,34(1):13-16.
- [25] ROGERS A R, HARPENDING A. Population growth makes waves in distribution of pairwise genetic differences [J]. Mol Biol Evol, 2006, 9: 552-569.

【责任编辑 柴 焰】